



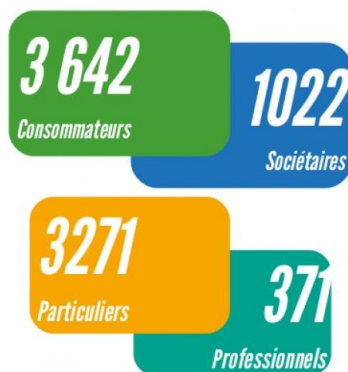
[ENERCOOP]2

Présentation, Problématique, Plan



Présentation ([Lien Enercoop](#))

- Fournisseur français d'électricité d'origine renouvelable
- Activité fonctionnant exclusivement par des accords de gré à gré avec des petits producteurs français d'énergie renouvelable.
- Fonctionnement coopératif



1 - <https://midipyrenees.enercoop.fr/actualites/les-chiffres-cles-de-la-cooperative-avril-2017>

Problématique

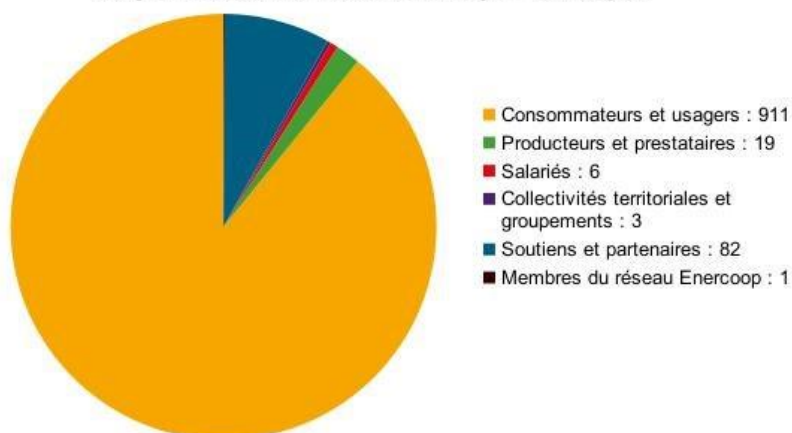
Les sources d'énergies renouvelables sont intermittentes :

- Non disponible en permanence
- Forte variation de la disponibilité sans possibilité de contrôle

La demande en électricité des utilisateurs varie au cours du temps, et dépend de paramètres comme la météo (température, luminosité, etc.)

Objectif : Mettre en adéquation l'offre et la demande en prédisant la demande en électricité.

Répartition du sociétariat par collèges

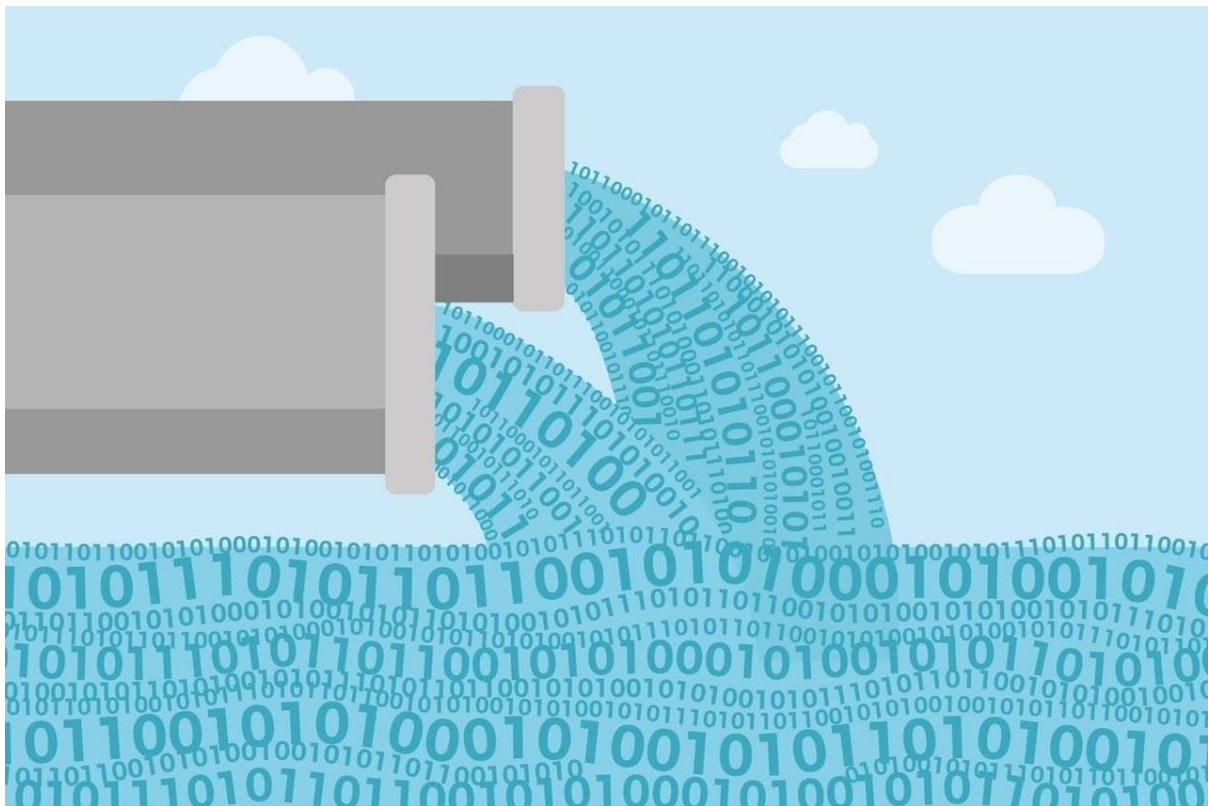


2 - <https://midipyrenees.enercoop.fr/actualites/les-chiffres-cles-de-la-cooperative-avril-2017>

Plan :

1. Sources et retraitement des données
2. Mission 1 : Corrigez les données de consommation mensuelles de l'effet température (dus au chauffage électrique) en utilisant une régression linéaire.
3. Mission 2 : Effectuez une désaisonnalisation de la consommation que vous aurez obtenue après correction, grâce aux moyennes mobiles.
4. Mission 3 : Effectuez une prévision de la consommation (corrigée de l'effet température) sur un an, en utilisant la méthode de Holt Winters (lissage exponentiel) puis la méthode ARMA sur la série temporelle désaisonnalisée.

Sources et retraitement des données



Importation des données énergie

Source : [Réseau de Transport de l'Electricité \(RTE\)](#)

RTE distribue l'électricité en France et produit des données sur son réseau accessibles via l'outil Eco2mix

```
df_energie <- as.data.frame(read.xls('../fichiers_csv/energie.xls'))
colnames(df_energie)
df_energie$Mois <- as.vector(df_energie$Mois)
df_energie$Qualite <- as.vector(df_energie$Qualite)
df_energie$Territoire <- as.vector(df_energie$Territoire)
```

3 - Import des données et transformation des colonnes en vecteur pour faciliter la manipulation

```
df_energie <- df_energie %>%
  select(Mois, Territoire, Consommation.totale) %>%
  filter(Territoire == "France")
```

4 - On ne s'intéresse qu'aux données de la France entière

```
mois = rep(c('JAN','FEV','MAR','AVR','MAI','JUIN','JUIL','AOUT','SEP','OCT','NOV','DEC'),8)
annee = c(rep('2010',12),rep('2011',12),rep('2012',12),rep('2013',12),rep('2014',12),rep('2015',12),rep('2016',12))

df_energie <- df_energie[1:96,]
df_energie <- cbind.data.frame(df_energie,mois,annee)
df_energie$mois <- as.vector(df_energie$mois)
df_energie$annee <- as.vector(df_energie$annee)
```

5 - On prépare le data.frame pour un pivot :

- Création des variables mois et année
- Ajout des variables au data.frame de base
- Transformation des variables en vecteur pour faciliter la manipulation

```
df_energie <- df_energie[,c("annee", "mois", "Consommation.totale", "Mois","Territoire")]

df_energie <- cast(df_energie,annee ~ mois,value='Consommation.totale',sum)
df_energie <- df_energie[,c("annee", 'JAN','FEV','MAR','AVR','MAI','JUIN','JUIL','AOUT','SEP','OCT','NOV','DEC')]
```

6 - Pivot : Utiliser une valeur unique située dans une colonne pour construire le nouveau data.frame

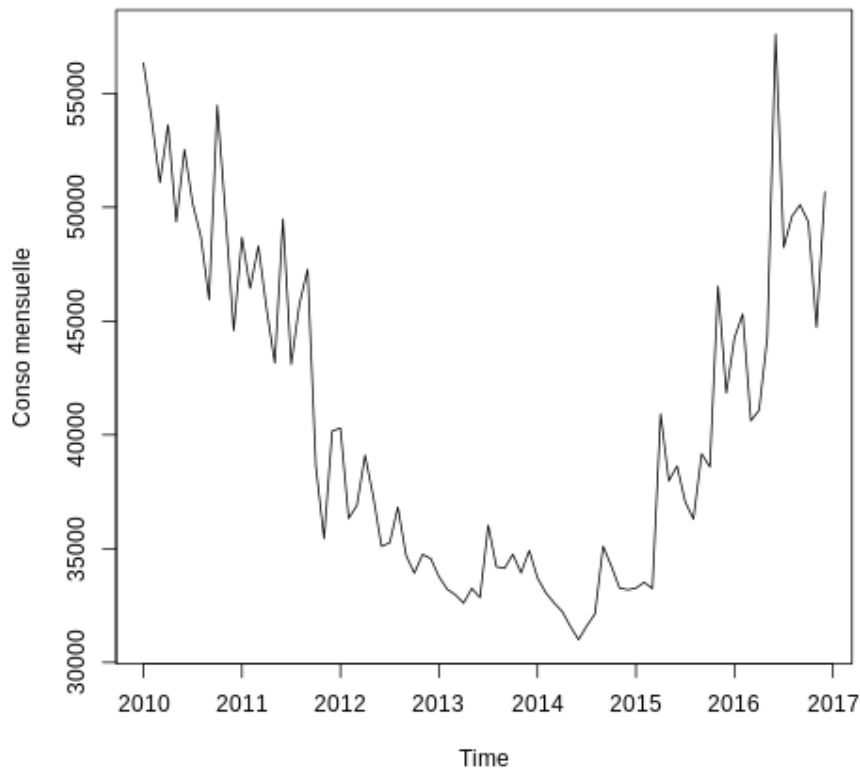
```
df_energie <- df_energie[1:7,]
```

| annee | JAN | FEV | MAR | AVR | MAI | JUIN | JUIL | AOUT | SEP | OCT | NOV | DEC |
|-------|-------|-------|-------|-------|-------|-------|-------|-------|-------|-------|-------|-------|
| 2010 | 56342 | 48698 | 48294 | 38637 | 37284 | 34567 | 36031 | 33069 | 35104 | 40918 | 46532 | 57600 |
| 2011 | 53873 | 45937 | 45543 | 35442 | 35107 | 33771 | 34204 | 32625 | 34230 | 37977 | 41837 | 48241 |
| 2012 | 51086 | 54476 | 43156 | 40176 | 35257 | 33219 | 34141 | 32247 | 33269 | 38628 | 44260 | 49602 |
| 2013 | 53619 | 49639 | 49480 | 40292 | 36821 | 32973 | 34751 | 31591 | 33195 | 37063 | 45310 | 50108 |
| 2014 | 49359 | 44580 | 43104 | 36331 | 34695 | 32608 | 33935 | 31004 | 33266 | 36301 | 40617 | 49350 |
| 2015 | 52536 | 48676 | 45739 | 36898 | 33927 | 33256 | 34912 | 31603 | 33521 | 39170 | 41085 | 44727 |
| 2016 | 50161 | 46440 | 47270 | 39102 | 34746 | 32852 | 33718 | 32132 | 33245 | 38590 | 44293 | 50670 |

7 - On fera abstraction de l'année 2017 (voir valeur manquante df_base_meteo)

Affichage du data.frame

Série temporelle de la consommation d'électricité



Importation des données météo

Source : [Simulateur DJU CEGIBAT](#)

CEGIBAT :

Simulateur de DJU : Cet outil, réalisé en partenariat avec Météo France, permet de calculer les degrés jour (DJ ou DJU) chauffage ou climatisation sur une période, une station météo et un seuil de température donnés.

DJU : Le **degré jour** est une valeur représentative de l'écart entre la température d'une journée donnée et un seuil de température préétabli (18 °C dans le cas des DJU ou Degré Jour Unifié). Sommés sur une période, ils permettent de calculer les besoins de chauffage et de climatisation d'un bâtiment.

```
files_to_read <- list.files(path = '../fichiers_csv/meteo_data', full.names = TRUE)
```

```
liste_meteo <- lapply(files_to_read, function(i){
  list_csv <- read.xls(i)

})
```

```
df_meteo <- lapply(liste_meteo, function(i){
  a <- data.frame(i, stringsAsFactors = FALSE)

  station <- as.vector(a[1, 'X.1'])

  mat <- as.matrix(a)
  mat <- mat[-c(1,2,3,4,5,6,7),]
  colnames(mat) <- mat[1,]
  mat <- mat[-1,]
  colnames(mat)[1] <- 'Annee'
  nb_row <- length(mat[, 'Annee'])
  mat <- cbind(rep(station, nb_row), mat)
  colnames(mat)[1] <- 'Station'
  as.data.frame(mat, stringsAsFactors = FALSE)
  mat[1:7,] #Valeur manquantes en 2017
})
```

8 -

- Récupération de tous les fichiers xls par station
- Suppression des valeurs non pertinentes
- Résultat obtenu : Liste de data.frame par station

```
df_base_meteo <- ldply(df_meteo, rbind)
df_base_meteo <- rename(df_base_meteo, c('Station' = 'station', 'Annee' = 'annee', 'JAN' = 'JAN', 'F\x99' = 'FEV', 'M
df_base_meteo[] <- as.vector(unlist(df_base_meteo, use.names = FALSE))
df_base_meteo[-2] <- as.numeric(unlist(df_base_meteo[-2], use.names = FALSE))

Warning message in eval(expr, envir, enclos):
"NAs introduits lors de la conversion automatique"
```

9 -

- Empilement des data.frames pour en avoir qu'un seul
- Conversion en vecteur de la colonne 'stations'
- Conversion en vecteurs numériques des colonnes mensuelles

```
df_base_meteo[] <- as.vector(unlist(df_base_meteo, use.names = FALSE))
df_base_meteo[-2] <- as.numeric(unlist(df_base_meteo[-2], use.names = FALSE))

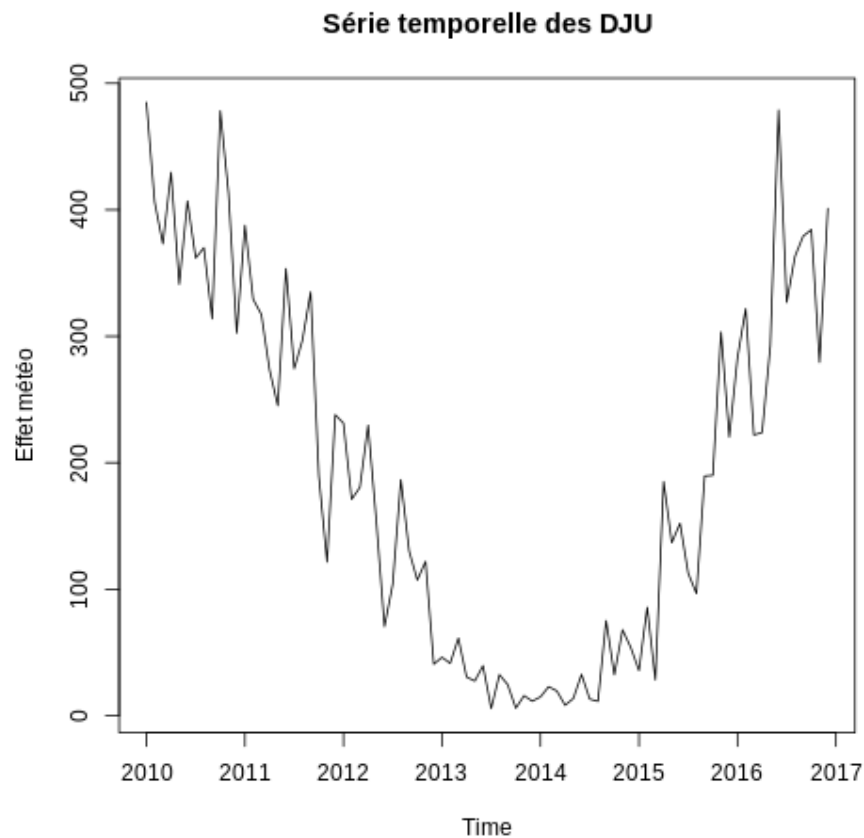
Warning message in eval(expr, envir, enclos):
"NAs introduits lors de la conversion automatique"
```

```
df_base_meteo <- ddply(df_base_meteo, ~annee, summarise, JAN = mean(JAN),
  FEV = mean(FEV),
  MAR = mean(MAR),
  AVR = mean(AVR),
  MAI = mean(MAI),
  JUN = mean(JUN),
  JUI = mean(JUI),
  AOU = mean(AOU),
  SEP = mean(SEP),
  OCT = mean(OCT),
  NOV = mean(NOV),
  DEC = mean(DEC))
```

10 - Moyenne DJU en France par mois et par an

| df_base_meteo | | | | | | | | | | | | |
|---------------|----------|----------|----------|----------|-----------|----------|-----------|----------|----------|-----------|----------|----------|
| annee | JAN | FEV | MAR | AVR | MAI | JUN | JUI | AOU | SEP | OCT | NOV | DEC |
| 2010 | 484.9267 | 369.9756 | 317.2278 | 189.6422 | 154.08889 | 40.69889 | 5.656667 | 22.85444 | 75.07222 | 184.95667 | 303.3189 | 478.8556 |
| 2011 | 406.2789 | 313.8867 | 273.3411 | 121.5056 | 70.45333 | 46.10111 | 32.323333 | 19.43889 | 32.31667 | 136.76111 | 220.3189 | 326.8511 |
| 2012 | 373.1278 | 478.2522 | 245.1367 | 237.8778 | 103.84111 | 41.35444 | 24.552222 | 8.21000 | 67.81889 | 152.04111 | 282.9667 | 363.1200 |
| 2013 | 429.6233 | 413.0800 | 353.4844 | 231.2144 | 186.51889 | 61.25778 | 5.921111 | 13.47556 | 53.80667 | 112.49667 | 321.7444 | 379.1200 |
| 2014 | 341.1244 | 302.5311 | 274.3767 | 171.0933 | 130.10000 | 30.49000 | 15.743333 | 32.52667 | 35.64222 | 96.57444 | 221.9400 | 384.3467 |
| 2015 | 406.9656 | 387.6867 | 296.7800 | 180.4811 | 107.18111 | 27.36556 | 11.420000 | 13.06667 | 85.59333 | 189.47000 | 223.8689 | 279.3678 |
| 2016 | 361.8989 | 329.3178 | 334.9833 | 229.5767 | 121.88111 | 39.40111 | 14.776667 | 11.26111 | 28.29556 | 190.01556 | 292.3822 | 401.0267 |

11 - Affichage des données météo



Correction de l'effet météo



1. On effectue la régression linéaire
2. On calcule la série corrigée de l'effet météo.

```
## Note : Colinéarité = En algèbre linéaire, deux vecteurs u et v d'un espace vectoriel E sont colinéaires s'il existe un
reg=lm(log_df_energie_ts~log_df_base_meteo_ts)
summary(reg)
## Affichage des coefficients
reg$coefficients
## Coefficients initiaux
a=reg$coefficients

Call:
lm(formula = log_df_energie_ts ~ log_df_base_meteo_ts)

Residuals:
    Min       1Q   Median       3Q      Max
-0.153079 -0.072196 -0.003129  0.067329  0.260510

Coefficients:
            Estimate Std. Error t value Pr(>|t|)
(Intercept)  10.023935    0.041358  242.37  <2e-16 ***
log_df_base_meteo_ts  0.119856    0.008432   14.21  <2e-16 ***
---
Signif. codes:  0 '***' 0.001 '**' 0.01 '*' 0.05 '.' 0.1 ' ' 1

Residual standard error: 0.09386 on 82 degrees of freedom
Multiple R-squared:  0.7113, Adjusted R-squared:  0.7078
F-statistic: 282 on 1 and 82 Df, p-value: < 2.2e-16

(Intercept) 10.023934746463
log_df_base_meteo_ts 0.11985595210034
```

cem = Correction Effet météo

12 - On effectue la régression linéaire

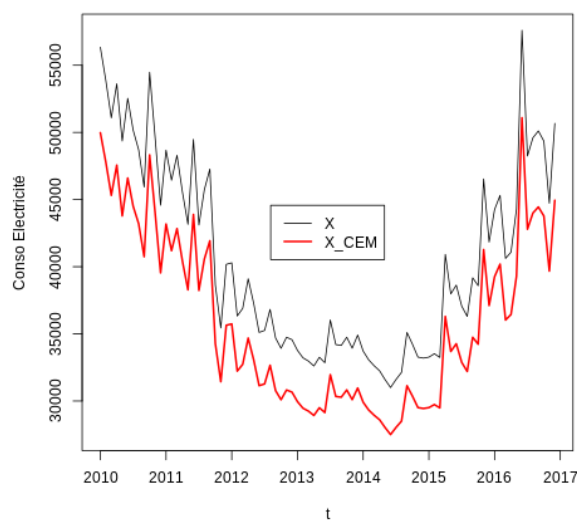
```
log_df_energie_ts_cem=log_df_energie_ts-a[2]

df_energie_ts_cem=exp(log_df_energie_ts_cem)

ts.plot(df_energie_ts,df_energie_ts_cem,xlab="t",ylab="Conso Electricité",col=c(1,2),lwd=c(1,2),main = "Série consommation
legend("center",legend=c("X","X_CEM"),col=c(1,2),lwd=c(1,2))
```

13 - On calcule la série corrigée de l'effet météo.

Série consommation électrique corrigée de l'effet météo



14 - On calcule la série corrigée de l'effet météo.

Correction de la saisonnalité



Nous allons utiliser les moyennes mobiles : Une **moyenne mobile** M est une combinaison linéaire d'instants passés et futurs de la série temporelle.

La désaisonnalisation s'effectue en deux phases comprenant chacune 4 étapes :

1. Estimation de la tendance
2. Estimation de la somme composante saisonnière-perturbation
3. Estimation de la composante saisonnière
4. Estimation de la série corrigée des variations saisonnières

Phase 1 :

Etape 1 : Primo-estimation de la tendance

```
m2_12=function(x){  
  y=(1/12)*stats::filter(x,c(0.5,rep(1,times=11),0.5))  
  return(y)  
}  
t1=m2_12(log_df_energie_ts_cem)
```

Etape 2 : Primo-estimation de la somme composante saisonnière-perturbation

```
sig1=log_df_energie_ts_cem-t1
```

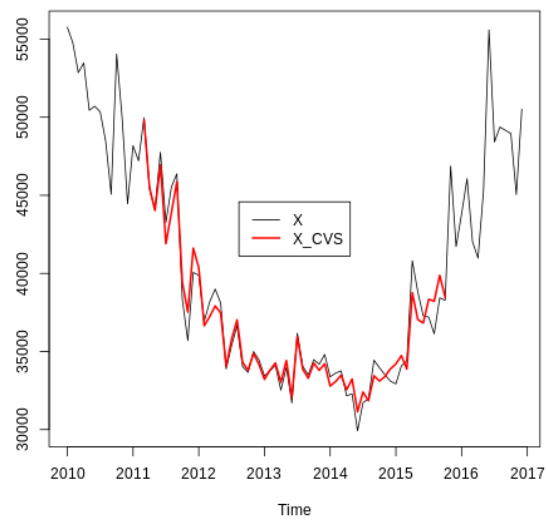
Etape 3 : Primo-estimation de la composante saisonnière

```
m3=function(x){  
  y=(1/3)*stats::filter(x,rep(1,times=3))  
  return(y)  
}  
s1=m3(sig1)  
shat1=s1-m2_12(s1)
```

Etape 4 : Primo-estimation de la série corrigée des variations saisonnières

```
log_df_energie_ts_cem_cvsl=log_df_energie_ts_cem-shat1  
df_energie_ts_cem_cvsl=exp(log_df_energie_ts_cem_cvsl)  
ts.plot(df_energie_ts_cem,df_energie_ts_cem_cvsl,col=c(1,2),lwd=c(1,2))  
legend("center",legend=c("X","X_CVSL"),col=c(1,2),lwd=c(1,2))
```

Primo-estimation de la série corrigée des variations saisonnières



16 - Affichage de l'estimation après la phase 1

Phase 2 :

Etape 1 : Estimation définitive de la tendance

```
m13h=function(x){  
  y=(1/16796)*stats::filter(x,c(-325,-468,0,1100,2475,3600,4032,3600,2475,1100,0,-468,-325))  
  return(y)  
}  
t2=m13h(df_energie_ts_cem_cvs1)
```

Etape 2 : Estimation définitive de la somme composante saisonnière-perturbation (2)

```
sig2=log_df_energie_ts_cem-t2
```

Etape 3 : Estimation définitive de la composante saisonnière

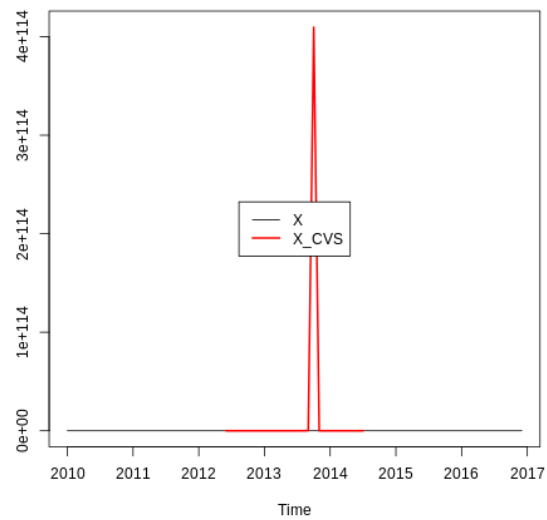
```
m5=function(x){  
  y=(1/5)*stats::filter(x,rep(1,times=5))  
  return(y)  
}  
s2=m3(m5(sig2))  
shat2=s2-m2_12(s2)
```

Estimation définitive de la série corrigée des variations saisonnières

```
log_df_energie_ts_cem_cvs2=log_df_energie_ts_cem-shat2  
df_energie_ts_cem_cvs2=exp(log_df_energie_ts_cem_cvs2)
```

17 - Méthodologie phase 2

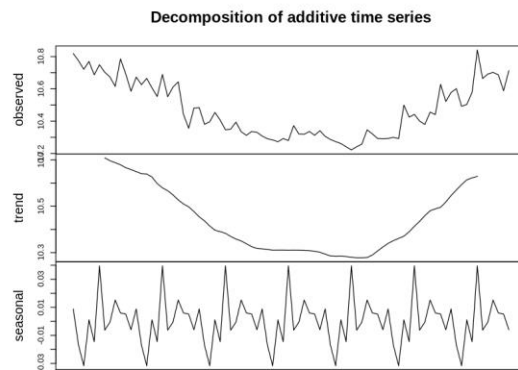
Estimation définitive de la série corrigée des variations saisonnière



18 - Affichage de l'estimation définitive

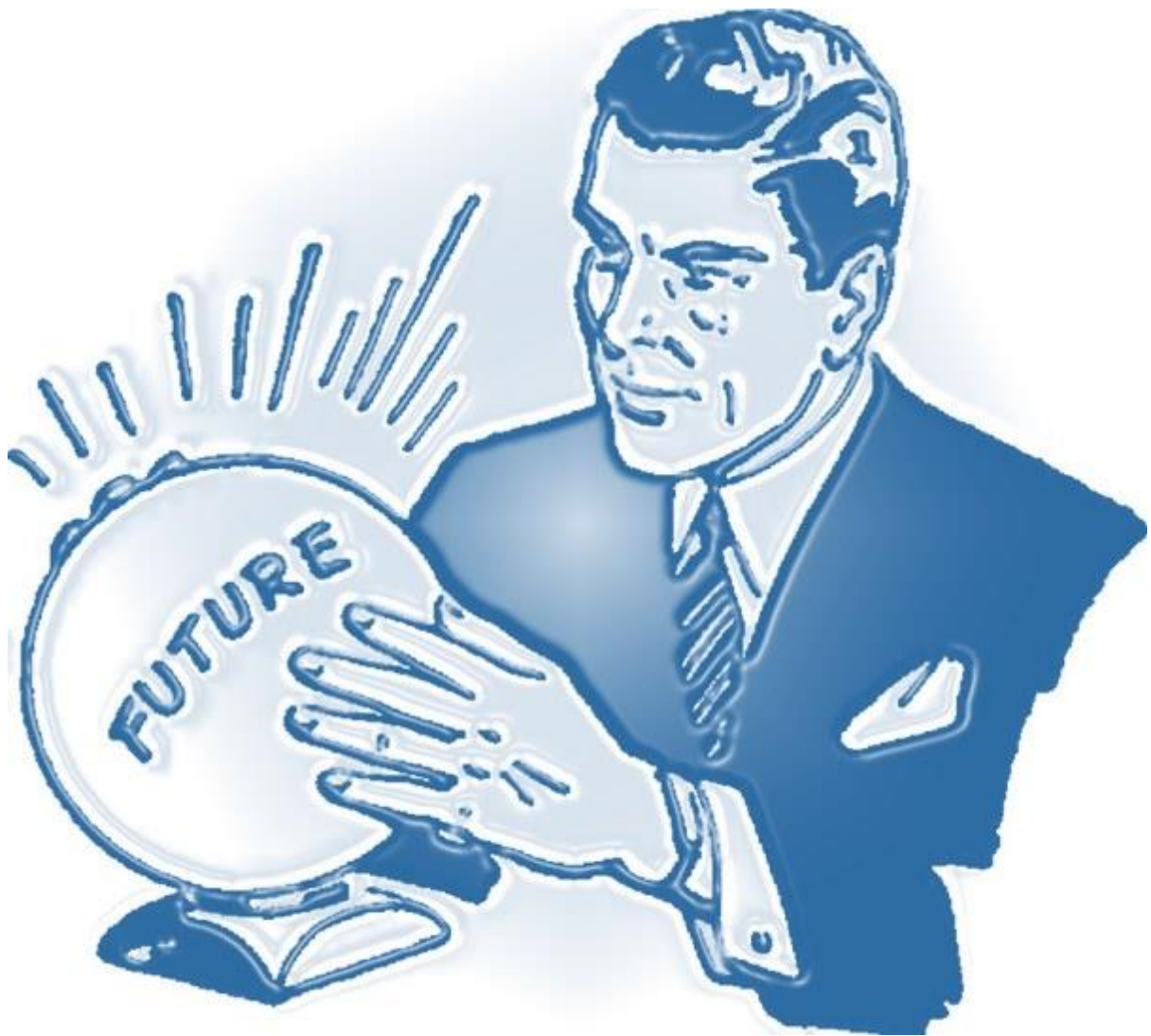
```
## OU Decompose Y
decomp_y=decompose(log_df_energie_ts_cem,type='additive')
plot(decomp_y)

## Correction effet saisonniers
x_cvs=exp(log_df_energie_ts_cem-decomp_y$seasonal)
ts.plot(log_df_energie_ts_cem,x_cvs,xlab='t',ylab='Conso électrique',col=c(1,2),lwd=c(1,2))
legend('topleft',legend=c('X','X_CVS'),col=c(1,2),lwd=c(1,2))
```

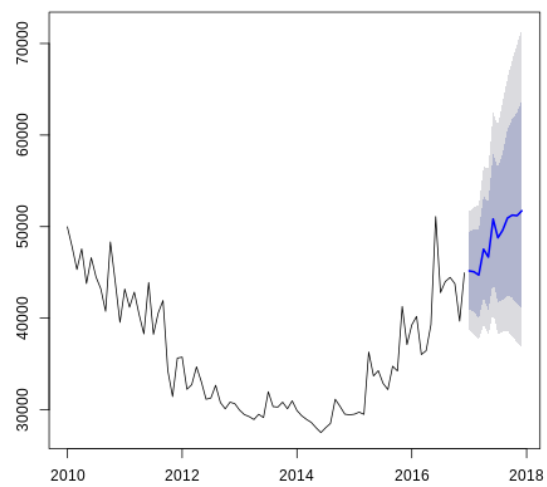


19 - En désaisonnalisant avec les moyennes mobiles, nous avons perdu de l'information. Par conséquent, on préférera désaisonnaliser via la fonction décompose.

Prédictions



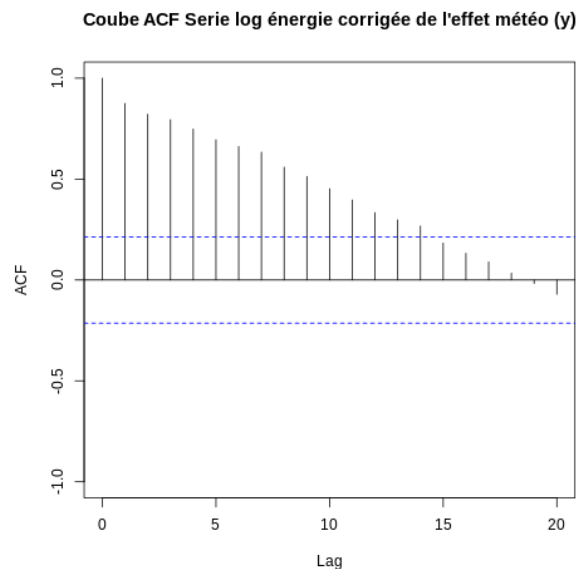
Prédiction selon lissage exponentiel Holt-Winters



La prévision obtenue par lissage exponentiel simple ne tient pas compte de la saisonnalité. La méthode de Holt-Winters est plus efficace que les lissages exponentiels simple ou double et tient compte d'une éventuelle tendance et saisonnalité

Modélisation : ARMA

Affichage de la courbe ACF de la série

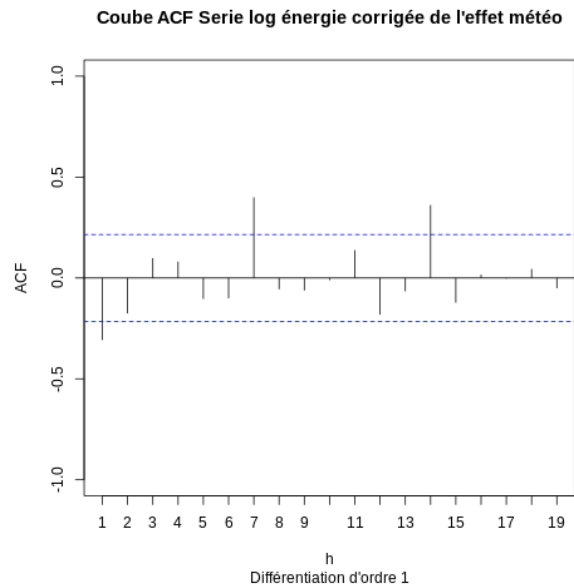


21 - En statistiques, on aime bien avoir des valeurs indépendantes -- or les séries temporelles ont des valeurs naturellement corrélées. Pour observer les corrélation on utilise une courbe d'autocorrélation (ACF) Il y a trois observations possibles :

- l'ACF qui est presque nulle correspond à des données non corrélées (processus stationnaire)
 - l'ACF tantôt positive, tantôt négative à des données périodiques
 - Décroissance lente de la courbe ACF (processus non stationnaire)

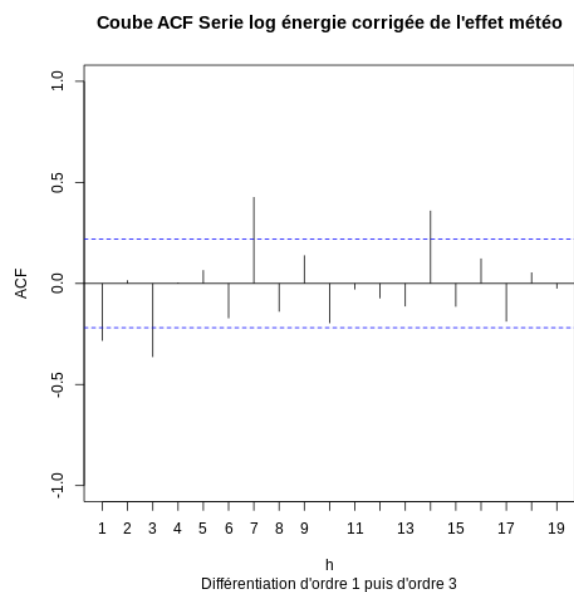
La sortie ACF présente une décroissance lente vers 0, ce qui traduit un problème de non-stationnarité.

Stationnarisation du processus par différentiation d'ordre 1



La sortie ACF de la série ainsi différenciée n'est toujours pas stationnaire. Nous allons ajouter une nouvelle différenciation d'ordre 3.

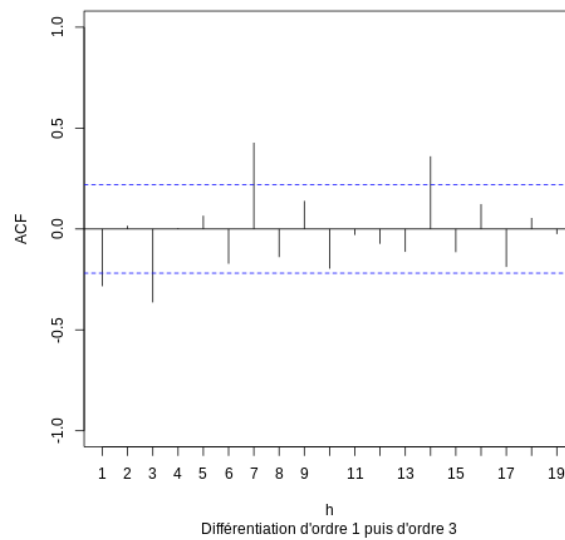
Stationnarisation du processus par différenciation d'ordre 1 et d'ordre 3



La sortie ACF de la série doublement différenciée semble pouvoir être interprétée comme un autocorrélogramme simple empirique. On identifiera donc un modèle ARMA sur la série $(I-B)(I-B^3)\ln(X_t)$.

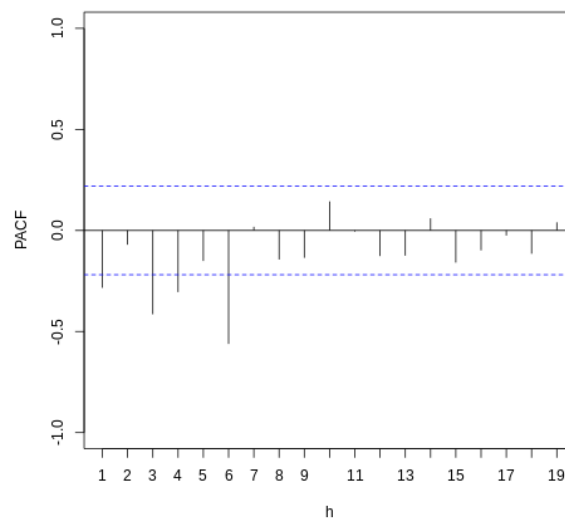
Identification, estimation et validation de modèles en s'appuyant sur les corrélogrammes simples et partiels estimés

Coube ACF Serie log énergie corrigée de l'effet météo



22 - MA = 3

Coube PACF Serie log énergie corrigée de l'effet météo



23 - AR = 6

Modèles potentiels

t-stat : Significativité d'un coefficient

H0 : Coefficient = 0

H1 : Coefficient différent de 0

box-test : La statistique Ljung-Box Q permet de déterminer si une série d'observations dans le temps sont aléatoires et indépendantes. Si les observations ne sont pas indépendantes, une observation

peut être corrélée avec une autre observation k unités de temps après, établissant ainsi une relation appelée autocorrélation. L'autocorrélation peut nuire à l'exactitude d'un modèle de prévision basé sur le temps, tel qu'un diagramme de série chronologique, et conduire à une mauvaise interprétation des données.

H_0 : Données indépendantes (bruit blanc faible)

H_1 : Données qui ne sont pas indépendantes (bruit blanc fort)

Modèle 1 On estime en premier lieu un modèle ARMA(6,3,3) au vu des autocorrélogrammes empiriques simples et partiels.

```
model1=Arima(y,order=c(6,3,3),include.mean = FALSE,method = "CSS-ML")
summary(model1)

t_stat(model1)

Box.test.2(model1$residuals,nlag = c(6,9,12,15,18,20),type="Ljung-Box",decim=5)
```

```
Series: y
ARIMA(6,3,3)

Coefficients:
ar1      ar2      ar3      ar4      ar5      ar6      ma1      ma2
-0.6626  -0.7895  -0.6648  -0.6384  -0.5810  -0.5885  -1.8473  0.9882
s.e.      0.3426  0.1899  0.1894  0.1493  0.1197  0.1178  0.3920  0.8457
ma3
-0.1509
s.e.      0.4649

sigma^2 estimated as 0.003674: log likelihood=109.26
AIC=-198.52 AICc=-195.37 BIC=-174.57

Training set error measures:
Training set -0.001067881 0.05611399 0.04058518 -0.01093686 0.3868557 0.2960809
MAE
Training set -0.01156882


```

| | ar1 | ar2 | ar3 | ar4 | ar5 | ar6 | ma1 | ma2 | ma3 |
|-------|-----------|-----------|-----------|-----------|-----------|-----------|-----------|----------|-----------|
| Lstat | -1.833766 | -4.316245 | -3.685870 | -4.207834 | -4.852108 | -4.316714 | -4.712207 | 1.180362 | -0.324995 |
| p.val | 0.053142 | 0.000016 | 0.000228 | 0.000028 | 0.000001 | 0.000016 | 0.000002 | 0.237856 | 0.745487 |

```
Retard p-value
6 0.96557
9 0.99737
12 0.96415
15 0.83994
18 0.93641
```

24 - Modèle 1 :

Tous les coefficients de notre modèle ne sont pas significatifs (> 0.05). Nous allons essayer un nouveau modèle en retirant le coefficient le moins significatif (ma3).

Modèle 2

```
model2=Arima(y,order=c(6,3,2),include.mean = FALSE,method = "CSS-ML")
summary(model2)

t_stat(model2)

Box.test.2(model2$residuals,nlag = c(6,9,12,15,18,20),type="Ljung-Box",decim=5)
```

```
Series: y
ARIMA(6,3,2)

Coefficients:
ar1      ar2      ar3      ar4      ar5      ar6      ma1      ma2
-0.7648  -0.8159  -0.6915  -0.6326  -0.5787  -0.5173  -1.7291  0.7291
s.e.      0.1189  0.1475  0.1664  0.1591  0.1294  0.1078  0.1342  0.1385

sigma^2 estimated as 0.003614: log likelihood=109.2
AIC=-200.4 AICc=-197.86 BIC=-178.85

Training set error measures:
Training set -0.002009644 0.056046 0.04012383 -0.002606068 0.3823312 0.2926361
MAE
Training set -0.02565172


```

| | ar1 | ar2 | ar3 | ar4 | ar5 | ar6 | ma1 | ma2 |
|-------|-----------|-----------|-----------|-----------|-----------|-----------|-----------|---------|
| Lstat | -6.432957 | -5.531827 | -4.154823 | -3.976077 | -4.472846 | -4.799091 | -12.88381 | 5.58499 |
| p.val | 0.000000 | 0.000000 | 0.000033 | 0.000070 | 0.000008 | 0.000002 | 0.00000 | 0.00000 |

```
Retard p-value
6 0.97987
9 0.99795
12 0.94181
15 0.80047
18 0.91003
20 0.94665
```

25 - Modèle 2 : On retire l'ordre du paramètre le moins significatif du modèle 1

t-test : Ce modèle ayant des paramètres non significatifs, on en teste un second.

Box-cox : Les p-valeurs ne sont pas inférieures au niveau de test de 5% donc on ne rejette pas l'hypothèse nulle qui est : Le résidu suit un bruit blanc

Test de normalité du résidu

H0: Le résidu suit une loi normale

H1 : Le résidu ne suit pas une loi normale

```
shapiro.test(model2$residuals)
```

Shapiro-Wilk normality test

```
data: model2$residuals  
W = 0.96396, p-value = 0.01885
```

26 - Cependant, Le test de normalité du résidu n'est pas concluant

Modèle 3

```
model3=Arima(y,order=c(6,3,1),include.mean = FALSE,method = "CSS-ML")  
summary(model3)  
  
t_stat(model3)  
  
Box.test.2(model3$residuals,nlag = c(6,9,12,15,18,20),type="Ljung-Box",decim=5)
```

Series: y
ARIMA(6,3,1)

Coefficients:

| | ar1 | ar2 | ar3 | ar4 | ar5 | ar6 | ma1 |
|------|---------|---------|---------|---------|---------|---------|---------|
| | -1.1942 | -1.3041 | -1.1521 | -0.9287 | -0.6985 | -0.5346 | -1.0000 |
| s.e. | 0.0956 | 0.1469 | 0.1797 | 0.1789 | 0.1442 | 0.0975 | 0.0344 |

sigma^2 estimated as 0.00445: log likelihood=102.05
AIC=-188.11 AICc=-186.11 BIC=-168.95

Training set error measures:

| | ME | RMSE | MAE | MPE | MAPE | MASE |
|--------------|--------------|------------|------------|-------------|-----------|-----------|
| Training set | -0.001358168 | 0.06261106 | 0.04575614 | -0.01448254 | 0.4357222 | 0.3337143 |

ACF1

Training set -0.161944

| | ar1 | ar2 | ar3 | ar4 | ar5 | ar6 | ma1 |
|-------|-----------|-----------|-----------|-----------|-----------|-----------|-----------|
| Lstat | -12.49316 | -8.877176 | -6.412403 | -5.191793 | -4.843365 | -5.483582 | -29.08015 |
| p.val | 0.00000 | 0.000000 | 0.000000 | 0.000000 | 0.000001 | 0.000000 | 0.000000 |

| Retard | p-value |
|--------|---------|
| 6 | 0.31746 |
| 9 | 0.26253 |
| 12 | 0.12012 |
| 15 | 0.06215 |
| 18 | 0.13442 |
| 20 | 0.20971 |

27 - Modèle 3 : On retire l'ordre du paramètre le moins significatif du modèle 2

t-test : Ce modèle ayant des paramètres significatifs, on utilisera ce modèle pour nos predictions

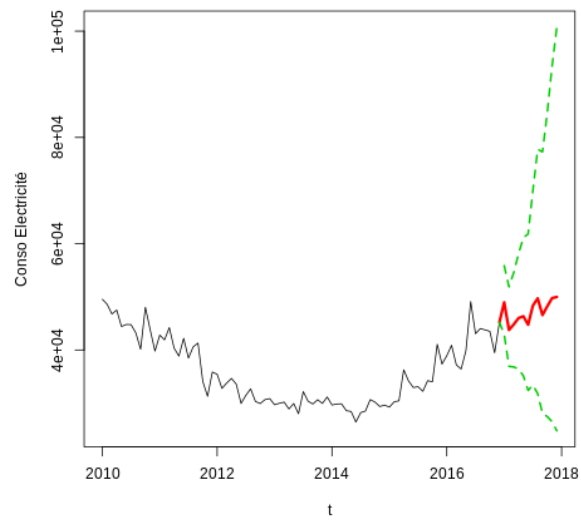
Box-cox : Les p-valeurs ne sont pas inférieures au niveau de test de 5% donc on ne rejette pas l'hypothèse nulle qui est : Le résidu suit un bruit blanc

```
shapiro.test(model3$residuals)
```

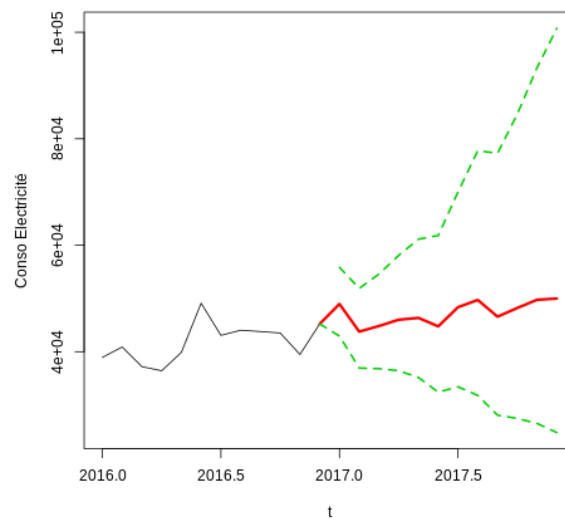
Shapiro-Wilk normality test

```
data: model3$residuals  
W = 0.97341, p-value = 0.07927
```

Prédiction de la consommation d'électricité selon le modèle ARMA

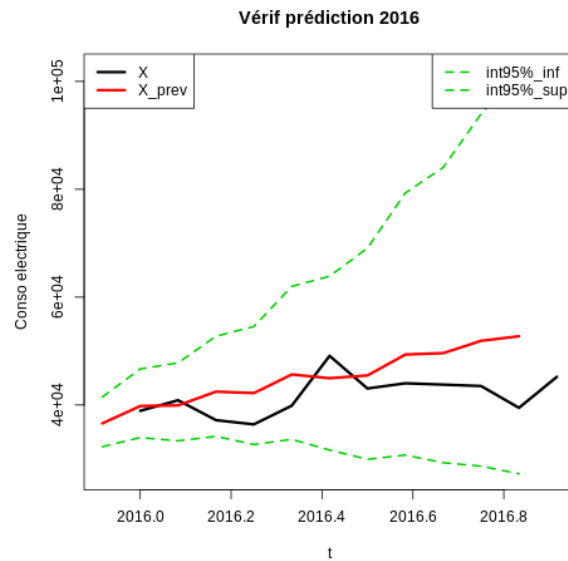


Zoom prédictions conso électrique avec modèle ARMA



Conclusion : Analyse à posteriori

Nous allons vérifier l'efficacité du modèle en tronquant la série de l'année 2016, qu'on cherche ensuite à prévoir à partir de l'historique 2010-2015.



29 - Test shapiro non concluant : On rejette fortement l'hypothèse de normalité. Cependant compte tenu de la faible probabilité d'obtenir un résidu qui suive une loi normale nous acceptons ce test.

Le RMSE est un indicateur qui mesure comment est éparpillé le résidu (les erreurs de prédiction). On doit le minimiser.

```
rmse=sqrt(mean((x_a_prevoir-pred_tronc)**2))
rmse
```

6243.35850500749

Le MAPE mesure à quel point les prédictions diffèrent des valeurs réelles. On doit le minimiser également. Une différence de 12% semble acceptable.

```
mape=mean(abs(1-pred_tronc/x_a_prevoir))*100
mape
```

12.8795785843695